

はり，平板およびシェルの FEM 解析法について

1. はり理論と FEM 解析

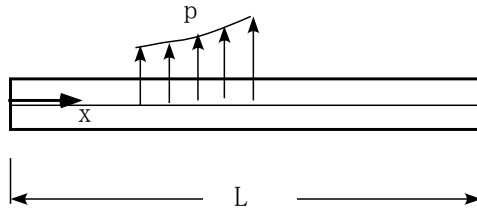


図 1-1 はりの問題

はりのたわみを w ，たわみ角を $\theta = dw/dx$ ，とすれば，曲率 ϕ は鉛直方向のせん断ひずみ γ の影響を考慮しない，いわゆる **Bernoulli-Euler はり理論**では，

$$\phi = \frac{d\theta}{dx} = \frac{d^2w}{dx^2} \tag{1-1}$$

であり，一方，せん断ひずみ γ の影響を考慮した **Timoshenko はり理論**では，

$$\phi = \frac{d\beta}{dx}, \beta = \frac{dw}{dx} - \gamma \tag{1-2}$$

また，せん断力 Q とせん断応力 τ の関係は，

$$\tau = \frac{Q}{\kappa A}, \gamma = \frac{\tau}{G} \tag{1-3}$$

ここに， A ：断面積， G ：せん断弾性係数， κ ：せん断修正係数で，長方形断面の場合は $\kappa = 5/6$ である．なお，式(1-3)において $G \rightarrow \infty$ とすれば，式(1-2)は式(1-1)に対応する．

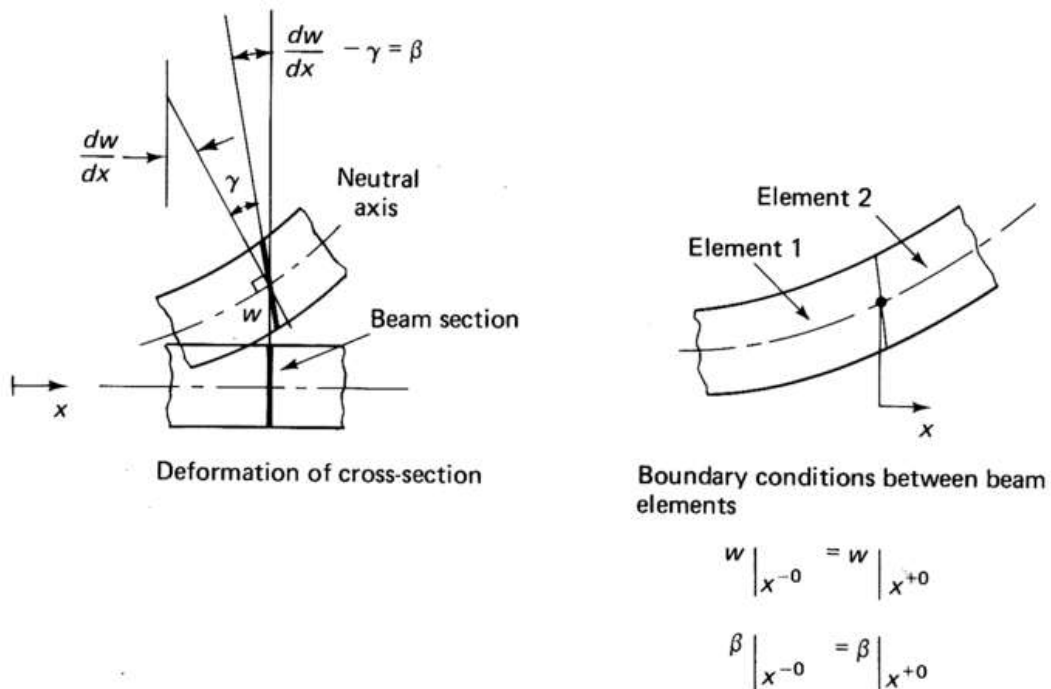


図 1-2 Timoshenko はり理論

せん断ひずみの影響を考慮した Timoshenko はり理論では、はり要素間の連続条件は、図 1-2 に示すように、たわみ w と $\beta = dw/dx - \gamma$ の連続条件として与えられ、 $\gamma = 0$ とした場合が Bernoulli-Euler はり理論に対応している。

FEM 解析では、Bernoulli-Euler はり理論でも Timoshenko はり理論でもはりの剛性方程式の定式化の手順が同じであるので、以下には、より一般性のある式(1-2)および式(1-3)に基づいて定式化を行う。

図 1 に示すような分布荷重 p を受ける長さ L のはりの全ひずみエネルギー W_i は

$$W_i = \frac{EI}{2} \int_0^L \phi^2 dx + \frac{GAK}{2} \int_0^L \gamma^2 dx \quad (1-4)$$

したがって、ポテンシャルエネルギーは、 $\phi = d\beta/dx$ 、 $\gamma = dw/dx - \beta$ より

$$\pi = \frac{EI}{2} \int_0^L \left(\frac{d\beta}{dx} \right)^2 dx + \frac{GAK}{2} \int_0^L \left(\frac{dw}{dx} - \beta \right)^2 dx - \int_0^L p w dx \quad (1-5)$$

ポテンシャルエネルギー極小の条件： $\delta\pi = 0$ より、

$$EI \int_0^L \left(\frac{d\beta}{dx} \right) \cdot \delta \left(\frac{d\beta}{dx} \right) dx + GAK \int_0^L \left(\frac{dw}{dx} - \beta \right) \cdot \delta \left(\frac{dw}{dx} - \beta \right) dx - \int_0^L p \cdot \delta w dx = 0 \quad (1-6)$$

式(1-6)は図 1 のはりのつりあい条件を意味していることに留意されたい。

さて、解析対象のはりを分割し、各節点でのたわみを w_i 、たわみ角を $\theta_i (= \beta_i)$ とし、補間関数 h_i を導入して、要素内のたわみとたわみ角を以下のように表す。

$$w = \sum_{i=1}^q h_i w_i, \quad \beta = \sum_{i=1}^q h_i \theta_i \quad (1-7)$$

たとえば、 $q=2$ 、 $q=3$ 、 $q=4$ での各補間での節点を図 1-3 に示している。

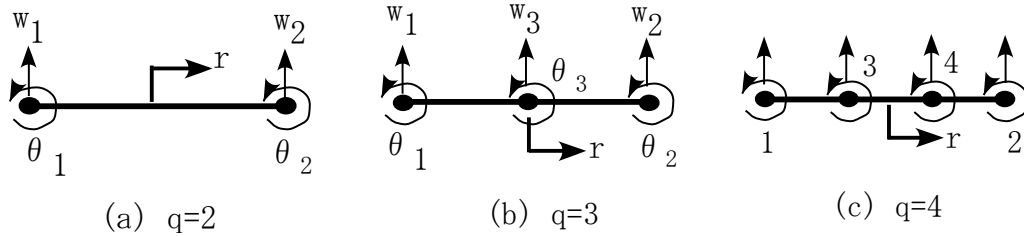


図 1-3 2, 3, および 4 節点補間の例

たとえば、 $q=2$ の場合は線形補間で、補間関数は

$$h_1 = \frac{1}{2}(1-r), \quad h_2 = \frac{1}{2}(1+r) \quad (1-8)$$

$q=3$ の場合は、2次補間で、

$$h_1 = -\frac{r}{2}(1-r), \quad h_2 = \frac{r}{2}(1+r), \quad h_3 = 1-r^2 \quad (1-9)$$

$q=4$ の場合は、3次補間で、

$$\begin{aligned} h_1 &= \frac{1}{2}(1-r) - \frac{1}{2}(1-r^2) + \frac{1}{16}(-9r^3 + r^2 + 9r - 1) \\ h_2 &= \frac{1}{2}(1+r) - \frac{2}{3}h_4 - \frac{1}{3}h_3, \quad h_3 = 1-r^2 + \frac{1}{16}(27r^3 + 7r^2 - 27r - 7), \\ h_4 &= \frac{1}{16}(-27r^3 - 9r^2 + 27r + 9) \end{aligned} \quad (1-10)$$

さて、節点変位ベクトルを $\hat{\mathbf{u}}$ 、補間関数ベクトルを \mathbf{H}_w 、 \mathbf{H}_β とすれば、

$$w = \mathbf{H}_w \hat{\mathbf{u}}, \quad \beta = \mathbf{H}_\beta \hat{\mathbf{u}} \quad (1-11)$$

ここに、

$$\hat{\mathbf{u}} = [w_1 \dots w_q \quad \theta_1 \dots \theta_q]^T,$$

$$\mathbf{H}_w = [h_1 \dots h_q \quad 0 \dots 0]^T$$

$$\mathbf{H}_\beta = [0 \dots 0 \quad h_1 \dots h_q]^T$$

さらに、

$$\frac{\partial w}{\partial x} = \mathbf{B}_w \hat{\mathbf{u}}, \quad \frac{\partial \beta}{\partial x} = \mathbf{B}_\beta \hat{\mathbf{u}} \quad (1-12)$$

ここに、

$$\mathbf{B}_w = \mathbf{J}^{-1} \begin{bmatrix} \frac{\partial h_1}{\partial r} & \dots & \frac{\partial h_q}{\partial r} & 0 & \dots & 0 \end{bmatrix},$$

$$\mathbf{B}_\beta = \mathbf{J}^{-1} \begin{bmatrix} 0 & \dots & 0 & \frac{\partial h_1}{\partial r} & \dots & \frac{\partial h_q}{\partial r} \end{bmatrix}$$

$$\mathbf{J} = \frac{\partial x}{\partial r} = \frac{\partial}{\partial r} (x_1 h_1 + \dots + x_q h_q)$$

要素剛性行列は以下のように与えられる。

$$\mathbf{K} = EI \int_{-1}^1 \mathbf{B}_\beta^T \mathbf{B}_\beta \det \mathbf{J} + GA\kappa \int_{-1}^1 (\mathbf{B}_w - \mathbf{H}_\beta)^T (\mathbf{B}_w - \mathbf{H}_\beta) \det \mathbf{J} dr \quad (1-13)$$

$$d \mathbf{eJt} = \partial x / \partial r$$

また、荷重ベクトルは

$$\mathbf{R} = \int_{-1}^1 \mathbf{H}_w^T P \det \mathbf{J} dr \quad (1-14)$$

一例として、図 4 に示すような、荷重 P を受ける長さ L のはりが両端 ($x=0, L$) と中間点 ($x=L/2$) に節点を有する場合には、

$$h_1 = -\frac{r}{2}(1-r), \quad h_2 = \frac{r}{2}(1+r), \quad h_3 = 1-r^2$$

$$x = \sum_{i=1}^3 h_i x_i = \frac{L}{2}(1+r), \quad \mathbf{J} = \frac{\partial x}{\partial r} = \frac{L}{2}, \quad \mathbf{J}^{-1} = \frac{2}{L}$$

$$\mathbf{B}_w = \frac{2}{L} \cdot \begin{bmatrix} \frac{-1+2r}{2} & \frac{1+2r}{2} & -2r & 0 & 0 & 0 \end{bmatrix}$$

$$\mathbf{B}_\beta = \frac{2}{L} \cdot \begin{bmatrix} 0 & 0 & 0 & \frac{-1+2r}{2} & \frac{1+2r}{2} & -2r \end{bmatrix}$$

$$\mathbf{K} = \frac{L E I}{2} \int_{-1}^1 \begin{bmatrix} b_1 \\ b_2 \\ b_3 \\ 0 \\ 0 \\ 0 \end{bmatrix} \cdot [b_1 \ b_2 \ b_3 \ 0 \ 0 \ 0] \cdot d r$$

$$+ \frac{L G \kappa A}{2} \int_{-1}^1 \begin{bmatrix} b_1 \\ b_2 \\ b_3 \\ -h_1 \\ -h_2 \\ -h_3 \end{bmatrix} [b_1 \ b_2 \ b_3 \ -h_1 \ -h_2 \ -h_3] \cdot d r$$

(1-15)

ここに,

$$b_1 = \frac{-1+2r}{L}, \quad b_2 = \frac{1+2r}{L}, \quad b_3 = -\frac{4r}{L}$$

であり, 荷重は $r=1/3$ の位置に集中荷重 $-P$ が作用しているので, $p = P/dx = P/(\det \mathbf{J} dr)$ より

$$\mathbf{R} = \int_{-1}^1 \mathbf{H}_w^T p \det \mathbf{J} dr = -\frac{P}{9} \cdot [-1 \ 2 \ 8 \ 0 \ 0 \ 0]^T$$

(1-16)

となる.

2. 平板の FEM 解析

前述のほりに対する式(1-1)の曲率 ϕ と板厚方向のせん断ひずみ γ は, 図 2-1 の平板要素に対しては下記のように拡張される.

$$u = z\beta_x(x, y), \quad v = -z\beta_y(x, y), \quad w = w(x, y) \tag{2-1}$$

ここに, u, v はそれぞれ x, y 軸方向の変位, w は z 軸方向のたわみ, β_x, β_y はそれぞれ x, y 軸方向の回転 (**rotation**) を表す.

平板の断面内の直ひずみ ($\varepsilon_x, \varepsilon_y$) とねじりせん断ひずみ (γ_{xy}) は

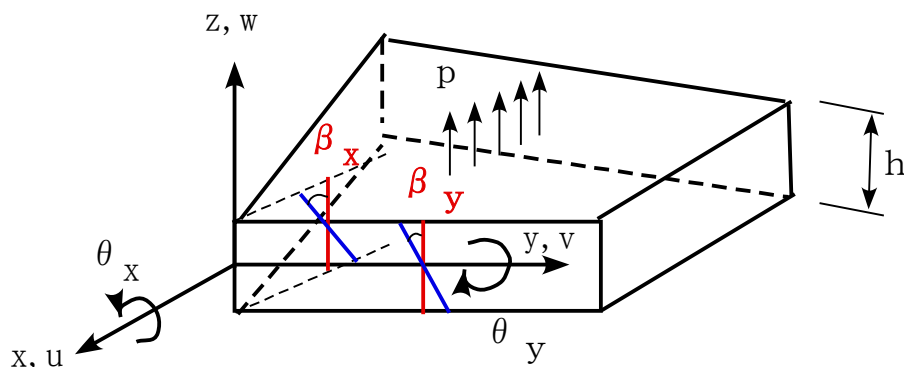


図 2-1 平板要素と断面変形(β_x, β_y)

$$\begin{bmatrix} \varepsilon_x \\ \varepsilon_y \\ \gamma_{xy} \end{bmatrix} = z \begin{bmatrix} \partial\beta_x/\partial x \\ -\partial\beta_y/\partial y \\ \partial\beta_x/\partial y - \partial\beta_y/\partial x \end{bmatrix} \quad (2-2)$$

一方、断面の鉛直方向（z 方向）のせん断ひずみは

$$\begin{bmatrix} \gamma_{yz} \\ \gamma_{xz} \end{bmatrix} = \begin{bmatrix} \partial w/\partial y - \beta_y \\ \partial w/\partial x + \beta_x \end{bmatrix} \quad (2-3)$$

したがって、弾性平板の応力は

$$\begin{bmatrix} \sigma_x \\ \sigma_y \\ \tau_{xy} \end{bmatrix} = z \cdot \frac{E}{1-\nu^2} \begin{bmatrix} 1 & \nu & 0 \\ \nu & 1 & 0 \\ 0 & 0 & (1-\nu)/2 \end{bmatrix} \cdot \begin{bmatrix} \partial\beta_x/\partial x \\ -\partial\beta_y/\partial y \\ \partial\beta_x/\partial y - \partial\beta_y/\partial x \end{bmatrix} \quad (2-4)$$

$$\begin{bmatrix} \tau_{yz} \\ \tau_{xz} \end{bmatrix} = \frac{E}{2(1+\nu)} \begin{bmatrix} \partial w/\partial y - \beta_y \\ \partial w/\partial x + \beta_x \end{bmatrix} \quad (2-5)$$

分布荷重 p が働く平板の全ポテンシャルエネルギーは

$$\begin{aligned} \pi &= \frac{1}{2} \int_{A_0-h/2}^{h/2} \int \begin{bmatrix} \varepsilon_x & \varepsilon_y & \gamma_{xy} \end{bmatrix} \cdot \begin{bmatrix} \sigma_x \\ \sigma_y \\ \tau_{xy} \end{bmatrix} \cdot d z \, d\phi \\ &+ \frac{\kappa}{2} \int_{A_0-h/2}^{h/2} \int \begin{bmatrix} \gamma_{yz} & \gamma_{xz} \end{bmatrix} \cdot \begin{bmatrix} \tau_{yz} \\ \tau_{xz} \end{bmatrix} \cdot dz dA_0 - \int_{A_0} w p dA_0 \end{aligned} \quad (2-6)$$

ここに、 h は板厚、 A_0 は平板の中央面の面積を意味している。

式(2-2)～(2-5)を式(2-6)に代入し、行列表示すれば

$$\pi = \frac{1}{2} \int_{A_0} \boldsymbol{\varphi}^T \mathbf{C}_b \boldsymbol{\varphi} dA_0 + \frac{1}{2} \int_{A_0} \boldsymbol{\gamma}^T \mathbf{C}_s \boldsymbol{\gamma} dA_0 - \int_{A_0} w p \, d\phi \quad (2-7)$$

ここに、

$$\boldsymbol{\varphi} = \begin{bmatrix} \partial\beta_x/\partial x \\ -\partial\beta_y/\partial y \\ \partial\beta_x/\partial y - \partial\beta_y/\partial x \end{bmatrix}, \quad \boldsymbol{\gamma} = \begin{bmatrix} \partial w/\partial y - \beta_y \\ \partial w/\partial x + \beta_x \end{bmatrix} \quad (2-8)$$

$$\mathbf{C}_b = \frac{Eh^3}{12(1-\nu^2)} \begin{bmatrix} 1 & \nu & 0 \\ \nu & 1 & 0 \\ 0 & 0 & (1-\nu)/2 \end{bmatrix}, \quad \mathbf{C}_s = \frac{Eh\kappa}{2(1+\nu)} \begin{bmatrix} 1 & 0 \\ 0 & 1 \end{bmatrix} \quad (2-9)$$

全ポテンシャルエネルギー極小の条件、 $\delta\pi = 0$ より、

$$\int_{A_0} \delta\boldsymbol{\varphi}^T \mathbf{C}_b \boldsymbol{\varphi} dA_0 + \int_{A_0} \delta\boldsymbol{\gamma}^T \mathbf{C}_s \boldsymbol{\gamma} dA_0 - \int_{A_0} \delta w p \, d\phi = 0 \quad (2-10)$$

たとえば、図 2-2 に示すような、板の中央面内での長方形要素 ($\lambda_x \times \lambda_y$) を考えれば、

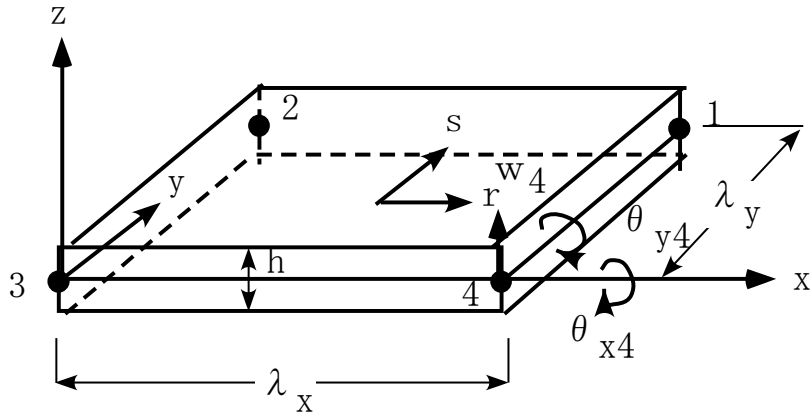


図 2-2 長方形要素

各節点の座標は、 $x_1 = \lambda_x, y_1 = \lambda_y, x_2 = 0, y_2 = \lambda_y, x_3 = 0, y_3 = 0, x_4 = \lambda_x, y_4 = 0$ であり、補間関数は

$$h_1 = \frac{1}{4}(1+r)(1+s), \quad h_2 = \frac{1}{4}(1-r)(1+s), \quad h_3 = \frac{1}{4}(1-r)(1-s), \quad h_4 = \frac{1}{4}(1+r)(1-s)$$

$$\mathbf{J} = \frac{1}{2} \begin{bmatrix} \lambda_x & 0 \\ 0 & \lambda_y \end{bmatrix}, \quad \mathbf{J}^{-1} = \frac{2}{\lambda_x \lambda_y} \begin{bmatrix} \lambda_y & 0 \\ 0 & \lambda_x \end{bmatrix}, \quad \det \mathbf{J} = \frac{\lambda_x \lambda_y}{2}$$

よって、

$$\begin{bmatrix} \partial w / \partial x \\ \partial w / \partial y \end{bmatrix} = \frac{\mathbf{J}^{-1}}{4} \begin{bmatrix} 1+s & -1-s & -1+s & 1-s \\ 1+r & 1-r & -1+r & -1-r \end{bmatrix} \cdot \begin{bmatrix} w_1 \\ w_2 \\ w_3 \\ w_4 \end{bmatrix} \quad (2-11)$$

式(2-8)の曲率とせん断ひずみベクトルを以下のように表せば、

$$\boldsymbol{\varphi}(r, s) = \mathbf{B}_\phi \hat{\mathbf{u}}, \quad \boldsymbol{\gamma}(r, s) = \mathbf{B}_s \hat{\mathbf{u}}, \quad w(r, s) = \mathbf{H}_w \hat{\mathbf{u}} \quad (2-12)$$

ここに、

$$\hat{\mathbf{u}} = [w_1 \quad \theta_{x1} \quad \theta_{y1} \quad w_2 \dots \theta_{y4}]^T \quad (2-13)$$

要素剛性行列は

$$\mathbf{K} = \int_{-1}^1 \int_{-1}^1 (\mathbf{B}_\phi^T \mathbf{C}_b \mathbf{B}_\phi + \mathbf{B}_s^T \mathbf{C}_s \mathbf{B}_s) d e \mathbf{J} t \cdot d r \quad (2-14)$$

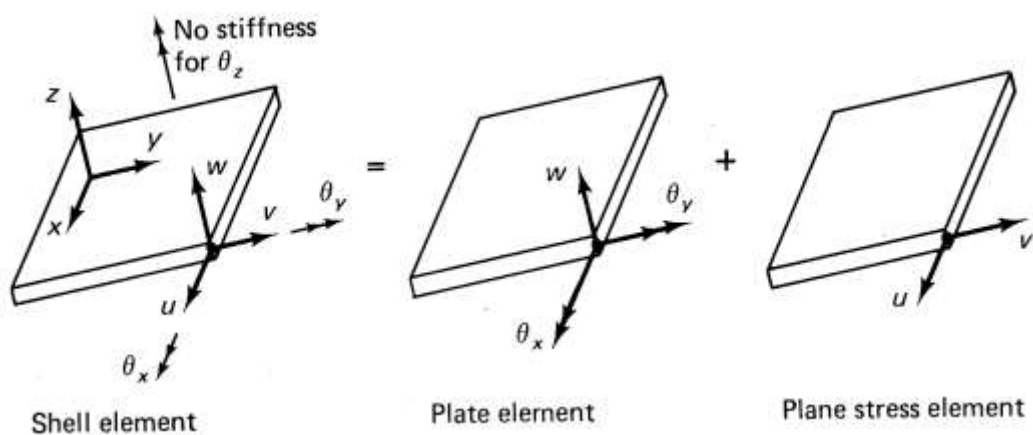
荷重ベクトルは

$$\mathbf{R}_s = \int_{-1}^1 \int_{-1}^1 \mathbf{H}_w^T p d e \mathbf{J} t \cdot d r \quad (2-15)$$

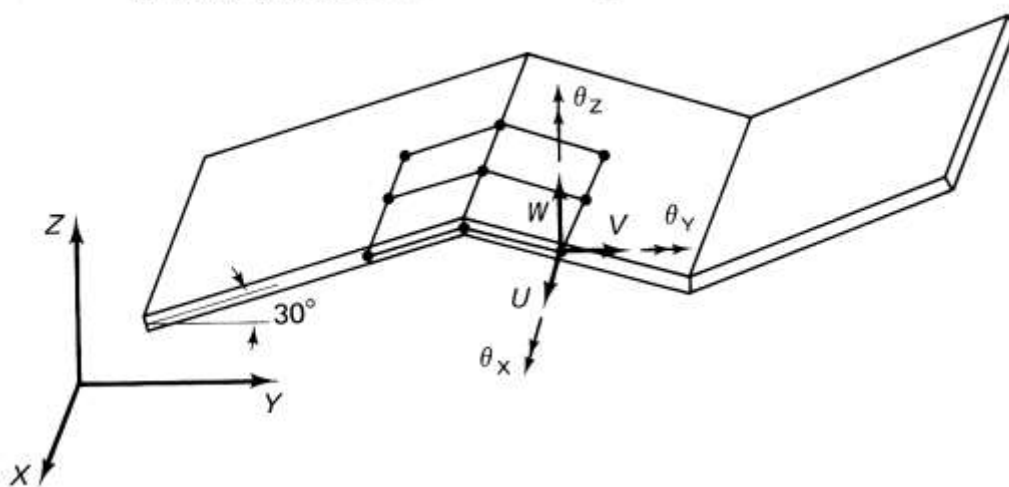
となる。

3. シェルの FEM 解析

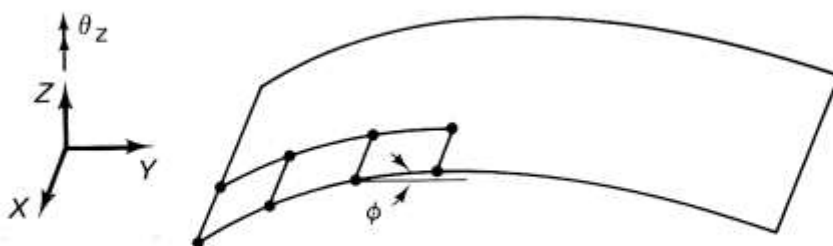
一般に、シェルとは曲面の構造を指すが、FEM 解析では折板要素の集合体として取り扱っている。



(a) Basic shell element with local 5 degrees of freedom at a node



(b) Analysis of folded plate structure



(c) Analysis of slightly curved shell

FIGURE 4.19 Use of a flat shell element.

FIGURE 4.19(a)に示すように、折板の一要素での節点変位としては、前述の3. 平板の節点変位 $(w_i, \theta_{xi}, \theta_{yi})$ に平板の面内変位 (u_i, v_i) を加えたものになっている。また、FIGURE 4.19(c)に示すような曲面板は解析上では FIGURE 4.19(b)のような折板構造として取り扱われている。

いま、FIGURE 4.19(a)に示したような四辺形要素を考えれば、平板として要素剛性行列は、式(2-14)より、

$$\mathbf{K}_B = \int_{-1}^1 \int_{-1}^1 (\mathbf{B}_\phi^T \mathbf{C}_b \mathbf{B}_\phi + \mathbf{B}_s^T \mathbf{C}_s \mathbf{B}_s) d\epsilon d\eta \quad (3-1)$$

であり、そのサイズは 12×12 である。

一方、平板の面内変形問題での要素剛性行列は

$$\mathbf{K}_M = \int_{-1}^1 \int_{-1}^1 (\mathbf{B}_M^T \mathbf{C}_M \mathbf{B}_M) d e \mathbf{J} t d r t \quad (3-2)$$

ここに、 \mathbf{C}_M は平板の弾性係数行列であり、

$$\mathbf{C}_M = \frac{Eh}{1-\nu^2} \begin{bmatrix} 1 & \nu & 0 \\ \nu & 1 & 0 \\ 0 & 0 & (1-\nu)/2 \end{bmatrix} \quad (3-3)$$

\mathbf{B}_M はひずみ行列であり、そのサイズは 8×3 であり、 \mathbf{K}_M のサイズは 8×8 である。

したがって、折板要素の剛性行列は以下ようになる。

$$\hat{\mathbf{K}}_{s h e} = \begin{bmatrix} \mathbf{K}_B & \mathbf{0} \\ \mathbf{0} & \mathbf{K}_M \end{bmatrix} \quad (3-4)$$

$\hat{\mathbf{K}}_{shell}$ のサイズは 20×20 となる。

折板要素の集合には全体座標系への変換が必要であるので、

$$\mathbf{K}_{s h e} = \mathbf{T}^T \hat{\mathbf{K}}_{s h e} \mathbf{T} \quad (3-5)$$

ここに、 \mathbf{T} は座標変換行列であり、平板要素および平面要素に対するそれぞれのサイズは 12×12 で、計 24×24 となり、以下のように与えられる。

$$\mathbf{K}_{s h e} = \begin{bmatrix} \hat{\mathbf{K}}_{s h e} & \mathbf{0} \\ \mathbf{0} & \mathbf{0} \end{bmatrix} \quad (3-6)$$

ところで、FEM解析の実行においては、上式の \mathbf{K}_{shell} の行列は特異になるので、以下のように置き換えて実行される。

$$\mathbf{K}_{s h e} = \begin{bmatrix} \hat{\mathbf{K}}_{s h e} & \mathbf{0} \\ \mathbf{0} & k\mathbf{I} \end{bmatrix} \quad (3-7)$$

ここに、 \mathbf{I} は 4×4 の単位行列、 k は微小な係数で、 $\hat{\mathbf{K}}_{shell}$ の最小要素の $1/1000$ のオーダーに採っている。

以上